



روندیابی سیل در رودخانه با استفاده از روش بدون شبکه SPH

حسن عباس نژاد^۱، محمدرضا چمنی^۲

۱- دانشجوی کارشناسی ارشد، دانشکده عمران، دانشگاه صنعتی اصفهان

۲- دانشیار، دانشکده عمران، دانشگاه صنعتی اصفهان

h.abbassnejad@cv.iut.ac.ir

خلاصه

در این مقاله برای روندیابی سیل در رودخانه، معادلات کامل سنت-ونانت برای حالت یک‌بعدی جریان با استفاده از روش عددی SPH گسسته‌سازی شده است. سیلابی با آب‌نمای ورودی مشخص در ابتدای کانال در نظر گرفته شده و نتایج روندیابی سیل برای انتهای کانال با استفاده از این روش به دست آمده است. در انتها، نتایج این روندیابی با نتایج به دست آمده از روش‌های ماسکینگام-کونج و تفاضلات محدود مقایسه شده است. نتایج نمایانگر مطابقت خوب نتایج روش SPH با دو روش دیگر است.

کلمات کلیدی: بدون شبکه، SPH، روندیابی، سنت-ونانت

۱. مقدمه

سیل از زمان‌های بسیار دور خسارات زیادی را به زندگی انسان وارد می‌ساخته است. برای مقابله با خسارات ناشی از سیل ابتدا باید نسبت به شناخت چگونگی تشکیل سیلاب و تخمین آبنمای^۱ سیل اقدام کرد. پس از آن، چگونگی انتقال و پخش سیلاب (روندیابی سیل) در رودخانه‌ها و مخازن سدها و دیگر سازه‌ها و موانع هیدرولیکی باید بررسی شود. تاکنون تلاش‌های مختلفی در زمینه روندیابی سیلاب در رودخانه صورت گرفته است. اولین حل کلاسیک برای روندیابی سیل در رودخانه در سال ۱۸۴۸ توسط سنت-ونانت^۲ صورت گرفته است که به معادله‌ی پیوستگی و اندازه حرکت در حالت یک‌بعدی منجر شده است [1]. در بخش بعدی درباره این معادلات بیشتر بحث خواهد شد. یکی از پرکاربردترین روش‌های هیدرولوژیکی روش ماسکینگام^۳ است که در سال ۱۹۳۸ توسط مک‌کارتی^۴ پیشنهاد شده است، تا مهندسان ارتش بتوانند به مدیریت حوزه‌ی آبریز رودخانه ماسکینگام در اوهایو^۵ بپردازند [1]. کالینین و میلیوکوف^۶ (۱۹۵۸) روش جدیدی به نام روش مشخصه‌ها را پایه‌گذاری کردند و توانستند معادلات سنت-ونانت را بصورت عددی حل کنند. کونج^۷ (۱۹۶۹) و میلر و کونج (۱۹۷۵) توانستند معادله‌ی موج کینماتیک^۸ را با روش ماسکینگام ترکیب کرده و ضرایب موجود در روش ماسکینگام را بر اساس مشخصات هیدرولیکی رودخانه بیان کنند. پرمال^۹ (۱۹۹۲) در ادامه‌ی کار کونج، معادله‌ی موج پخشیدگی^{۱۰} را

^۱ دانشجوی کارشناسی ارشد رشته مهندسی عمران، گرایش مهندسی آب، دانشکده مهندسی عمران، دانشگاه صنعتی اصفهان

^۲ هیأت علمی گروه مهندسی آب و محیط زیست، دانشکده مهندسی عمران، دانشگاه صنعتی اصفهان.

¹ - Hydrograph

² - Saint-Venant

³ - Maskingum

⁴ - McCarthy

⁵ - Ohio

⁶ - Kalinin and Milyukov

⁷ - Cunge

⁸ - Kinematic wave

⁹ - Perumal

¹⁰ - Diffusion wave

با روش ماسکینگام ترکیب کرده و ضرایب ماسکینگام به دست آمده توسط کونج را اصلاح کرد [1]. پرمال (۱۹۹۴) و پرمال و رانگا راجو (۱۹۹۹) شکل دیگری از معادله کلاسیک سنت-ونانت را استخراج کردند که در آن تعداد جملات موجود در معادله‌ی اندازه حرکت کاهش یافته است. یک روش ساده روندیابی کینماتیکی توسط مونتس^۱ (۱۹۹۸) ارائه شده است. وانگ^۲ (۲۰۰۳) شکل اصلاح شده‌ی معادله سنت-ونانت را ارائه داده است [1]. روش های بدون شبکه از نوین ترین روش های عددی در سال های اخیر است که توانستند پاره های از معایب روش های مبتنی بر شبکه را اصلاح کرده و مسایلی را حل کنند که تحلیل آن ها با روش های مبتنی بر شبکه یا به طور کلی امکان پذیر نبوده و یا اینکه نیاز به صرف هزینه و زمان زیادی دارند. از جمله این مسایل می توان به تحلیل جریان های دارای سطح آزاد در حالت دو و سه بعدی و همچنین مسایل دارای مرزهای قابل تغییر اشاره کرد. روش عددی SPH یک روش بدون شبکه و مبتنی بر ذره است که اولین بار در سال ۱۹۷۷ توسط لوسی^۳ و به موازات آن گینگولد و مناقان^۴ برای شبیه سازی حرکت ستاره ها در کهکشان ها استفاده شده است [2و3و4]. دیدگاه مورد انتظار در این روش دیدگاه لاگرانژی است، اما در این تحقیق از دیدگاه اویلری برای حل عددی مساله استفاده شده است.

۲. معادلات حاکم

برای جریان ناپایدار رودخانه در حالت یک بعدی، رابطه های دیفرانسیلی پیوستگی و اندازه حرکت (معادلات سنت-ونانت) به صورت زیر است [۵، ۶]:

$$\frac{\partial y}{\partial t} + D_m \frac{\partial V}{\partial x} + V \frac{\partial y}{\partial x} = 0 \quad (1)$$

$$\frac{\partial V}{\partial t} + V \frac{\partial V}{\partial x} + g \frac{\partial y}{\partial x} - g(S_0 - S_f) = 0 \quad ; \quad S_f = \frac{n^2 Q |Q|}{A^2 R_h^{4/3}} \quad (2)$$

که در آن y عمق آب در کانال، V سرعت متوسط مقطع، D_m عمق هیدرولیکی، n ضریب زبری مانینگ، A سطح مقطع، R_h شعاع هیدرولیکی، S_0 شیب کف کانال، S_f شیب خط انرژی، g شتاب گرانش و x و t به ترتیب متغیرهای مستقل مکانی و زمانی است.

۳. روش ماسکینگام-کونج

کونج (۱۹۶۹) بر پایه‌ی معادله ماسکینگام و با استفاده از معادله موج کینماتیک رابطه‌ی زیر را ارائه کرده است [۶، ۷]:

$$Q_{i+1}^{n+1} = C_1 Q_i^{n+1} + C_2 Q_i^n + C_3 Q_{i+1}^n \quad (3)$$

که در آن زیر نویس n ، شمارنده‌ی مقاطع است که به ترتیب از مقطع بالادست به پایین دست شماره گذاری شده‌اند و بالانویس n شمارنده‌ی گام زمانی است. ضرایب C_1 ، C_2 و C_3 (ضرایب ماسکینگام) نیز به صورت زیر به دست می آیند:

$$C_1 = \frac{K\chi + 0.5\Delta t}{K - K\chi + 0.5\Delta t} \quad ; \quad C_2 = \frac{-K\chi + 0.5\Delta t}{K - K\chi + 0.5\Delta t} \quad ; \quad C_3 = \frac{K - K\chi - 0.5\Delta t}{K - K\chi + 0.5\Delta t} \quad (4)$$

کونج مقادیر K و χ را با روابط زیر بیان کرده است:

$$K = \frac{\Delta x}{c_k} \quad ; \quad \chi = \frac{1}{2} \left(1 - \frac{Q}{c_k \Delta x T S_0} \right) \quad ; \quad c_k = \frac{dQ}{dy} \quad (5)$$

که در آن Q دبی جریان، T عرض سطح آب و c_k سرعت موج کینماتیک است.

۴. روش تفاضلات محدود

در این تحقیق، معادلات کامل سنت-ونانت با نوعی از فرمولبندی صریح تفاضلات محدود مشهور به روش لاکس^۵ گسسته سازی شده است. در این

¹ - Montes

² - Wang

³ - Lucy

⁴ - Gingold & Monaghan

⁵ - Lax



فرمول‌بندی، از تقریب مرتبه اول پیشرو برای گسسته‌سازی مشتق زمانی و از تقریب مرتبه اول مرکزی برای گسسته‌سازی مشتق مکانی استفاده شده است. برای خطی‌سازی معادلات در هر مرحله محاسباتی، ضرایب مشتقات به صورت ثابت در نظر گرفته شده که با استفاده از متوسط‌گیری مقادیر گره‌های مجاور در مرحله قبل به صورت زیر به دست می‌آیند [۸، ۵]:

$$\begin{aligned} y_i^{n+1} &= y_i^* - \frac{1}{2} r (D_m)_i^* (V_{i+1}^n - V_{i-1}^n) - \frac{1}{2} r V_i^* (y_{i+1}^n - y_{i-1}^n) \\ V_i^{n+1} &= V_i^* - \frac{1}{2} r g (y_{i+1}^n - y_{i-1}^n) - \frac{1}{2} r V_i^* (V_{i+1}^n - V_{i-1}^n) + g \Delta t [S_0 - (S_f)_i^*] \end{aligned} \quad (6)$$

که در آن

$$\begin{aligned} r &= \frac{\Delta t}{\Delta x} \quad ; \quad y_i^* = \frac{1}{2} (y_{i+1}^n + y_{i-1}^n) \quad ; \quad (D_m)_i^* = \frac{1}{2} [(D_m)_{i+1}^n + (D_m)_{i-1}^n] \\ V_i^* &= \frac{1}{2} (V_{i+1}^n + V_{i-1}^n) \quad ; \quad (S_f)_i^* = \frac{1}{2} [(S_f)_{i+1}^n + (S_f)_{i-1}^n] \end{aligned} \quad (7)$$

در روابط بالا زیرنویس i شمارنده‌ی مقاطع است که به ترتیب از مقطع بالادست به پایین دست شماره گذاری شده‌اند و بالانویس n شمارنده‌ی گام زمانی است.

۵. روش عددی SPH

گسسته‌سازی مشتق زمانی در این روش عددی که اصطلاحاً به آن انتگرال‌گیری زمانی گفته می‌شود، همانند روش تفاضلات محدود است. در این تحقیق از همان تقریب مرتبه اول پیشرو نسبت به زمان استفاده شده که منجر به فرم صریح معادلات شده است. در حالت یک‌بعدی، برای تقریب مقدار یک تابع در مکان و برای تقریب مقدار مشتق مکانی از رابطه‌های زیر استفاده می‌شود [2 و 9]:

$$\phi(x_i) \square \int_{\Omega_i} \phi(x) W(x-x_i) dx \square \sum_j^{N_i} \phi(x_j) W(x_j-x_i) \Delta x_j \quad (8)$$

$$\frac{\partial \phi(x_i)}{\partial x} \square - \int_{\Omega_i} \phi(x) \frac{\partial W(x-x_i)}{\partial x} dx \square - \sum_j^{N_i} \phi(x_j) \frac{\partial W(x_j-x_i)}{\partial x} \Delta x_j \quad (9)$$

اندیس‌های i و j بیانگر نقاط گسسته‌ی مکانی، $\phi(x_i)$ مقدار تابع در i امین نقطه از فضا، Ω_i دامنه‌ی تأثیر i امین نقطه، N_i تعداد نقاط قرار گرفته در دامنه‌ی تأثیر i امین نقطه و $W(x)$ تابع وزنی هموارساز است که به تابع کرنل معروف است. تاکنون توابع کرنل مختلفی در روش SPH و دیگر روش‌های بدون شبکه استفاده شده است. در تحقیق حاضر، از نوعی کرنل زنگوله‌ای شکل استفاده شده که اولین بار توسط لوسی (۱۹۷۷) به صورت زیر پیشنهاد شده است [2، 3]:

$$W(x-x_i) = \alpha_d \begin{cases} (1+3R)(1-R)^3 & R \leq 1 \\ 0 & R > 1 \end{cases} \quad ; \quad R = \frac{|x-x_i|}{h} \quad (10)$$

که در آن مقدار α_d برای مسایل یک‌بعدی برابر با $5/4h$ و h شعاع تأثیر تابع کرنل است. قابل توضیح است که مقدار h یک مقدار دلخواه بوده و مشخص کننده‌ی تعداد ذراتی است که با همدیگر اندر کنش دارند. همچنین، مقدار h دقت و پایداری مساله را تحت تأثیر قرار می‌دهد. اگر شماره گذاری مکانی (i و j) مقاطع مختلف به ترتیب از بالادست به پایین دست کانال فرض شود، معادلات کامل سنت-نانت از دیدگاه اویلری را می‌توان به صورت زیر گسسته سازی کرد:

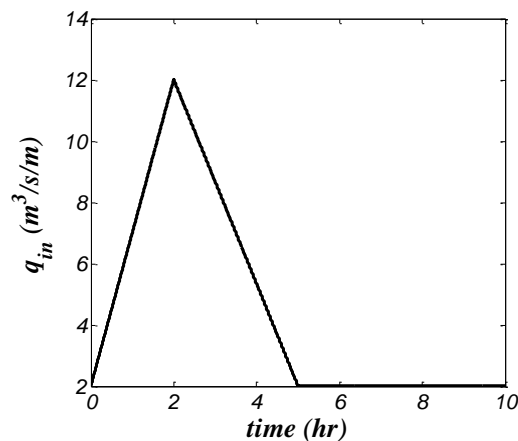
$$\begin{aligned} y_i^{n+1} &= y_i^* - \Delta t \left[- (D_m)_i^* \sum_j^{N_i} V_j^n \frac{\partial W_{ij}}{\partial x_i} \Delta x_j - V_i^* \sum_j^{N_i} y_j^n \frac{\partial W_{ij}}{\partial x_i} \Delta x_j \right] \\ V_i^{n+1} &= V_i^* - \Delta t \left[- V_i^* \sum_j^{N_i} V_j^n \frac{\partial W_{ij}}{\partial x_i} \Delta x_j - g \sum_j^{N_i} y_j^n \frac{\partial W_{ij}}{\partial x_i} \Delta x_j \right] + g \Delta t [S_0 - (S_f)_i^*] \end{aligned} \quad (11)$$

که در آن

$$y_i^* = \sum_j^{N_i} y_j^n W_{ij} \Delta x_j \quad ; \quad (D_m)_i^* = \sum_j^{N_i} (D_m)_j^n W_{ij} \Delta x_j \quad ; \quad V_i^* = \sum_j^{N_i} V_j^n W_{ij} \Delta x_j \quad ; \quad (S_f)_i^* = \sum_j^{N_i} (S_f)_j^n W_{ij} \Delta x_j \quad (12)$$

۶. روندیابی سیل

برای مدل سازی از کانال عریض مستطیلی به طول ۱۰ کیلومتر استفاده شده است. شیب کف کانال ۰/۰۰۱ و ضریب مانینگ برابر ۰/۰۵ است. در ابتدا جریانی یکنواخت و دایمی به عمق ۲ متر در کانال در جریان است. سپس سیلابی با آبنمای نشان داده شده در شکل (۱) در بالادست کانال به وقوع می پیوندد. همانگونه که در شکل (۱) نیز نمایان است، زمان پیک سیلاب در لحظه زمانی دو ساعت است.

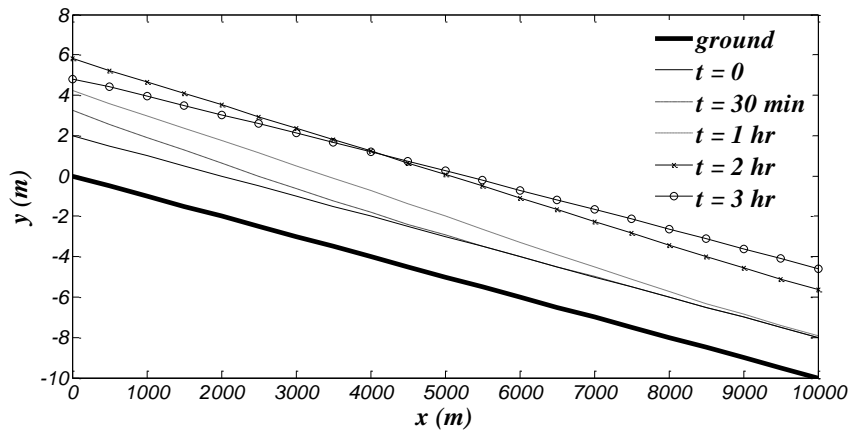


شکل ۱- آبنمای سیل در ابتدای کانال

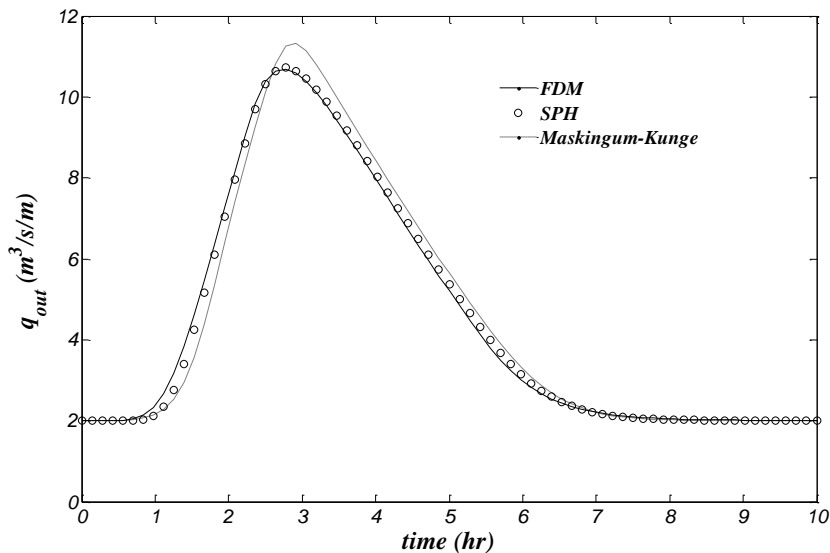
روندیابی سیل با استفاده از روش SPH و دو روش مذکور دیگر انجام شده است. برای این کار در محیط نرم افزار Matlab برنامه نویسی صورت گرفته است. طول کانال به صد بازه (صد و یک ذره در روش SPH و صد و یک گره در دو روش دیگر) تقسیم گردیده و محاسبات برای تمام گره ها (ذرات) با گام زمانی پنج ثانیه انجام گرفته است. شماره گذاری گره ها (ذرات) به صورت منظم از بالادست به پایین دست کانال صورت پذیرفته تا روابط ذکر شده در بخش های پیش کارآمد باشند. شرایط مرزی بالادست و پایین دست کانال در تمام گام های زمانی برابر عمق نرمال فرض گردیده تا نتایج روندیابی به روش ماسکینگام-کونج نزدیک تر شوند. یکی از محدودیت های روش ماسکینگام-کونج آن است که نمی توان شرایط مرزی غیر از عمق نرمال را مدل کرد، بلکه در آن فرض بر این است که همواره و همه جا عمق کانال برابر عمق نرمال است.

نتایج روندیابی سیل با استفاده از روش SPH برای زمان های مختلف در طول کانال برای چند لحظه متفاوت زمانی در شکل (۲) نشان داده شده است. همان گونه که در شکل (۲) نمایان است، تا دو ساعت اول شروع سیل، عمق آب در قسمت های ابتدایی کانال در حال افزایش است و پس از آن فروکش می کند. در پایین دست کانال، تا زمان سه ساعت عمق آب همچنان در حال افزایش است. این به معنای انتقال پیک سیلاب به سمت پایین دست کانال است. در طبیعت نیز پیک سیلاب همواره به سمت پایین دست است. این تشابه منطقی بودن نتایج را تأیید می کند.

برای نشان دادن صحت روش عددی SPH، نتایج روندیابی برای آبنمای پایین دست کانال برای هر سه روش عددی ذکر شده در بخش های قبل در شکل (۳) نمایش داده شده است. نتایج دارای انطباق خوبی با یکدیگر می باشند. از مقایسه ی بین شکل (۱) و شکل (۳) می توان مشاهده کرد که پیک سیلاب در هر سه روش هم کاهش یافته و هم دچار تأخیر زمانی شده است و این نیز دلیل دیگری بر منطقی بودن نتایج است. بین روش های تفاضلات محدود و SPH همخوانی بیشتری نسبت به روش ماسکینگام-کونج وجود دارد. این اختلاف به دلیل فرضیات ساده کننده ی روش ماسکینگام-کونج در روندیابی است، زیرا که روش ماسکینگام-کونج، جریان را در تمام بازه های محاسباتی همواره به صورت یکنواخت در نظر می گیرد.



شکل ۲- تغییرات عمق در طول کانال در زمان‌های متفاوت با استفاده از روش SPH



شکل ۳- نتایج روندیابی سیل در انتهای کانال با استفاده از سه روش متفاوت

۷. نتیجه‌گیری

روش عددی SPH یک روش کارآمد در حل معادلات دیفرانسیل مشتق جزئی است، که تاکنون توانسته مسایل مختلفی را با شرایط اولیه و مرزی پیچیده تحلیل کند. این روش جزو روش‌های بدون شبکه محسوب می‌شود که اساساً دارای دیدگاه لاگراژی است. همانگونه که در این تحقیق مشاهده شد، این روش انعطاف داشته و قابلیت تحلیل مسایل با دیدگاه اولری را نیز دارا است. تاکنون از روش SPH برای تحلیل روند سیل در رودخانه‌ها تحقیقی انجام نشده است و تحقیق حاضر برای اولین بار از این روش برای روندیابی سیلاب استفاده کرده است. کاربرد روش SPH در حل مسأله روندیابی سیل در حالت یک‌بعدی به نتایج خوبی منجر شده است. مورد انتظار است که این روش در حل مسایل دیگری مانند حرکت آبهای زیرزمینی در سفره‌های محصور و آزاد در حالت یک، دو و سه‌بعدی نیز نتایج خوبی را بر جای گذارد.

۸. مراجع

1. Heatherman W.J. (2009), "Flood routing on small streams: A review of muskingum-cunge, cascading reservoirs, and full dynamic solutions", Ph.D. Thesis, University of Kansas.



2. Liu G.R., Liu M.B. (2003), "*Smoothed particle hydrodynamics; a meshfree particle method*", World Scientific Publishing Co. Pte. Ltd.
3. Lucy L.B. (1977), "*Numerical approach to testing the fission hypothesis*", *Astronomical Journal*, 82, pp 1013-1024.
4. Gingold R.A., and Monaghan J.J. (1977), "*Smoothed particle hydrodynamics: Theory and application to non-spherical stars*", *Monthly Notices of the Royal Astronomical Society*, 181, pp 375-389
۵. محمودیان شوشتری م، (۱۳۸۷)، "اصول جریان در مجاری باز"، جلد دوم، انتشارات دانشگاه شهید چمران اهواز .
۶. حسینی، س. م، ابریشمی ج، (۱۳۸۵)، "هیدرولیک کانال های باز"، انتشارات دانشگاه امام رضا (ع).
۷. صفوی، ح. ر، (۱۳۸۸)، "هیدرولوژی مهندسی"، انتشارات ارکان دانش.
۸. هادیان، م.ر، زراتی ا.ر، (۱۳۸۷)، "مدل های عددی آب های کم عمق و کاربرد آن ها در مهندسی رودخانه و سواحل"، انتشارات دانشگاه صنعتی امیر کبیر.
9. Monaghan J.J., (2005), "*Smoothed particle hydrodynamics*", Institute of Physics Publishing, Rep. Prog. Phys. **68**, pp 1703–1759